

УДК 547.779

**КРИСТАЛЛИЧЕСКАЯ СТРУКТУРА ПРОДУКТОВ РЕАКЦИИ ФЕНИЛГИДРАЗИНА С ДИАЦЕТИЛЗАМЕЩЕННЫМ КЕТОЛОМ ЦИКЛОГЕКСАНОВОГО РЯДА**

**А.М. Магеррамов<sup>1</sup>, А.И. Исмиеv<sup>1</sup>, М.А. Аллахвердиев<sup>1</sup>, А.В. Малеев<sup>2</sup>, К.А. Потехин<sup>2</sup>**

<sup>1</sup>Бакинский государственный университет, Азербайджан

E-mail: arif\_ismiev@mail.ru

<sup>2</sup>Владимирский государственный университет, Россия

Статья поступила 13 июля 2015 г.

Проведена реакция 2,4-диацетил-5-гидрокси-5-метил-3-фенилциклогексанона-1 с фенилгидразином и методом PCA определена кристаллическая структура продуктов этой реакции — 1-(6-гидрокси-3,6-диметил)-2,4-дифенил-4,5,6,7-тетрагидро-2Н-индазол-5-ил)этан-1-она и 1-(2-гидрокси-2-метил-6-фенил-4-(2-фенилгидразоно)-5-(1-(2-фенилгидразоно)этил) циклогексил) этан-1-она.

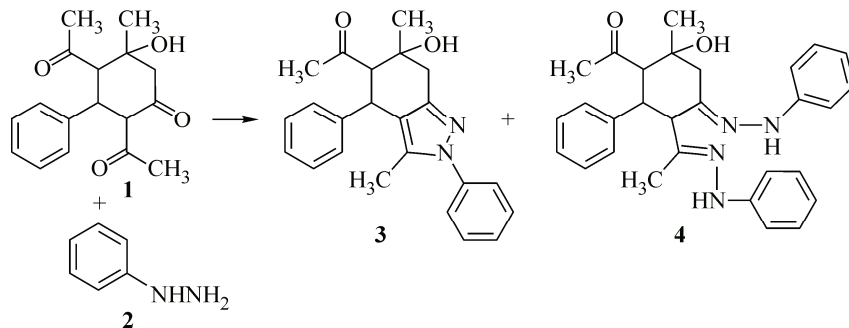
DOI: 10.15372/JSC20160420

**Ключевые слова:** конформация циклов,  $\beta$ -кетолы, N-фенилпиразолы.

#### ВВЕДЕНИЕ

N-Фенилзамещенные пиразолы обычно получают циклоконденсацией фенилгидразина с производными ацетилацетона симметричного строения в присутствии кислотных катализаторов [ 1—11 ], причем без катализаторов выход целевых продуктов обычно низкий. Аналогичная циклоконденсация с 1,3-диоксоединениями несимметричного строения изучена авторами [ 12, 13 ], однако вопрос о регионарности реакции и, как следствие, структура полученных пиразолов по нашему мнению требует более детального исследования.

Принимая во внимание вышеизложенное, а также установленный для замещенных пиразолов широчайший спектр биологической активности [ 14—19 ], мы исследовали реакцию диацетилзамещенного кетола (**1**) с фенилгидразином (**2**) в среде этанола в присутствии 1 капли концентрированной соляной кислоты. В результате выделены два продукта: 1-(6-гидрокси-3,6-диметил)-2,4-дифенил-4,5,6,7-тетрагидро-2Н-индазол-5-ил)этан-1-он (**3**) и 1-(2-гидрокси-2-метил-6-фенил-4-(2-фенилгидразоно)-5-(1-(2-фенилгидразоно)этил)циклогексил)этан-1-он (**4**) с выходом



дами 52 и 15 % соответственно. Вещества **3** и **4** выделены методом колоночной хроматографии, элюент этилацетат—гексан = 1:3.

Для доказательства молекулярной структуры синтезированных нами соединений мы воспользовались РСА.

### ЭКСПЕРИМЕНТАЛЬНАЯ ЧАСТЬ

Монокристаллы для РСА получены двукратной кристаллизацией соединений **3** и **4** из этанола. Рентгеноструктурное исследование обоих соединений проведено на дифрактометре Bruker SMART APEXII CCD (MoK $\alpha$ -излучение, графитовый монохроматор,  $\phi$ - и  $\omega$ -сканирование). Для соединения **3** измерено 14298 дифракционных отражений,  $\theta_{\max} = 26^\circ$ , для соединения **4** — 25486 отражений,  $\theta_{\max} = 25^\circ$ . Интенсивности симметрически эквивалентных отражений были усреднены. В результате усреднения получили для соединения **3** 7596 независимых дифракционных отражений с  $R(\text{int}) = 0,0177$ , а для соединения **4** — 5276 отражений с  $R(\text{int}) = 0,0574$ , которые были использованы для расшифровки и уточнения их кристаллических структур.

Кристаллы **3** триклинические:  $a = 9,8955(5)$ ,  $b = 14,8264(7)$ ,  $c = 15,2923(7)$  Å,  $\alpha = 65,406(2)$ ,  $\beta = 77,739(2)$ ,  $\gamma = 76,564(2)^\circ$ ,  $V = 1967,2(2)$  Å $^3$ , пр. гр.  $P\bar{1}$ ,  $Z = 4$  (две кристаллографически независимые молекулы в общем положении). Кристаллы **4** моноклинические:  $a = 11,6599(8)$ ,  $b = 9,3060(6)$ ,  $c = 28,041(2)$  Å,  $\beta = 100,734(2)^\circ$ ,  $V = 2989,4(4)$  Å $^3$ , пр. гр.  $P2_1/n$ ,  $Z = 4$ . В кристаллической структуре **4** кристаллографически независимыми являются молекула **4**, молекула воды и молекула этилового спирта. Обе структуры расшифрованы прямым методом и уточнены методом наименьших квадратов по  $F^2$  в анизотропном приближении для неводородных атомов. Атомы водорода, которые участвуют в образовании водородных связей, локализованы в разностном синтезе электронной плотности, их положение уточняли в изотропном приближении. Координаты остальных атомов Н рассчитаны геометрически и уточнялись в модели наездника. Конечные значения факторов расходимости:  $R_1 = 0,0557$  (0,0526) и  $wR_2 = 0,1497$  (0,1176) (для 7596 (5246) дифракционных отражений с  $I > 2\sigma(I)$ ),  $R_1 = 0,0739$  (0,1055) и  $wR_2 = 0,1675$  (0,1417) по всему массиву независимых дифракционных отражений (в скобках указаны данные для соединения **4**). Все расчеты проведены с помощью комплекса программ SHELLXTL [20].

CIF-файлы, содержащие полную информацию по исследованным структурам **3** и **4**, были депонированы в CCDC под номерами 1405274 и 1405273, откуда могут быть свободно получены по запросу на следующем интернет сайте: [www.ccdc.cam.ac.uk/data\\_request/cif](http://www.ccdc.cam.ac.uk/data_request/cif)

### РЕЗУЛЬТАТЫ И ИХ ОБСУЖДЕНИЕ

Перспективный вид двух кристаллографически независимых молекул **3** с нумерацией неводородных атомов представлен на рис. 1. Как и следовало ожидать, длины попарно соответствующих валентных связей совпадают в пределах экспериментальной погрешности их измере-

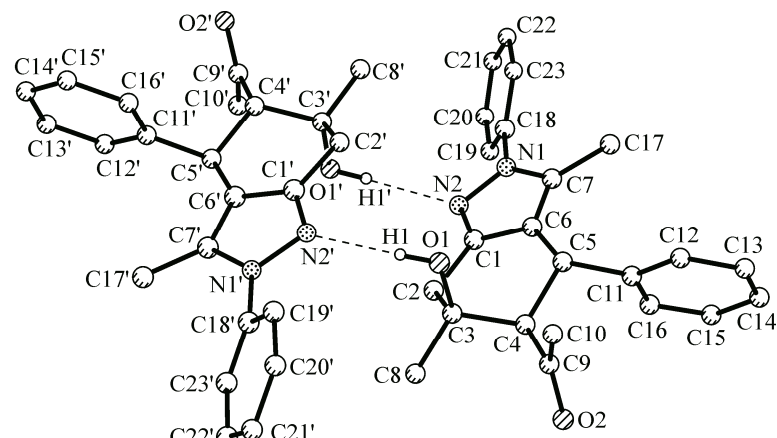


Рис. 1. Перспективный вид двух кристаллографически независимых молекул **3** с нумерацией атомов.  
Показаны только атомы водорода, которые участвуют в образовании H-связей

Показаны только атомы водорода, которые участвуют в образовании H-связей

Таблица 1

Внутримолекулярные невалентные контакты 1...4 в молекулах 3 и 4

Молекула 3			Молекула 4		
Контакт	Расстояние $d$ , Å	$\Delta$ , Å *	Контакт	Расстояние $d$ , Å	$\Delta$ , Å *
C(8)...C(9)	2,91	0,51	C(7)...C(9)	2,91	0,51
C(9)...C(11)	3,02	0,40	C(7)...C(29)	2,95	0,47
C(6)...C(16)	3,05	0,37	C(9)...C(15)	3,00	0,42
C(17)...C(18)	3,11	0,31	C(3)...C(10)	3,04	0,38
C(5)...C(10)	3,14	0,28	C(2)...C(16)	3,16	0,26
C(4)...C(16)	3,16	0,26	C(4)...C(16)	3,16	0,26
C(7)...C(11)	3,18	0,24	C(1)...C(10)	3,29	0,13
C(7)...C(23)	3,19	0,23	C(15)...N(3)	2,70	0,50
C(3)...C(10)	3,27	0,15	C(16)...N(2)	2,76	0,44
C(19)...N(2)	2,86	0,34	C(24)...N(3)	2,78	0,42
			C(18)...N(1)	2,79	0,41
			C(5)...N(4)	2,82	0,38

\*  $\Delta = 2\sqrt{R_i \cdot R_j} - d$ , где  $R_i$  и  $R_j$  — ван-дер-ваальсовы радиусы атомов.

ния. Различия между соответствующими валентными углами не превышают  $1^\circ$ , торсионными углами —  $7^\circ$ . Таким образом, кристаллографически независимые молекулы в структуре 3 достаточно близки по своему геометрическому строению и, следовательно, при обсуждении их молекулярного строения целесообразно использовать средние значения для каждой пары геометрических параметров.

Молекула 3 имеет бициклический фрагмент: 6-членный карбоцикл C(1)...C(6) и 5-членный гетероцикл, конденсированный с ним по связи C(1)—C(6). Карбоцикл имеет конформацию уплощенного *полукресла*: атомы C(1), C(2), C(5) и C(6) лежат в одной плоскости, а атомы C(3) и C(4) отклоняются от указанной плоскости в разные стороны на 0,48 Å и 0,31 Å соответственно. Гетероцикл молекулы 3 плоский: отклонения атомов цикла от его средней плоскости не превышают 0,003(3) Å. Атом C(18) отклоняется от плоскости гетероцикла на 0,088(3) Å.

В молекуле 3 имеются укороченные внутримолекулярные невалентные контакты типа 1...4. В табл. 1 представлены средние для двух кристаллографически независимых молекул значения невалентных расстояний, округленные до сотых долей ангстрема. Отметим, что по мнению авторов [21], удвоенный ван-дер-ваальсовый радиус атома углерода равен 3,42 Å, ван-дер-ваальсово расстояние между атомами углерода и азота равно 3,20 Å.

Наличие укороченных внутримолекулярных невалентных контактов в молекуле 3 свидетельствует о ее существенном стерическом напряжении. Релаксация этого внутримолекулярного напряжения происходит, как правило, за счет поворота объемистых заместителей относительно одинарных связей и/или деформации валентных углов (отклонения их от среднестатистических значений), а в отдельных случаях даже за счет удлинения валентных связей. В данном случае, релаксация стерического напряжения за счет поворота заместителей в позициях 4 и 5 относительно связей C(4)—C(9) и C(5)—C(11) невозможна, потому что атом C(10) "заперт" невалентными контактами типа 1...4 между атомами C(3) и C(5), а атом C(16) — между атомами C(4) и C(6). Фенилу, связанному с N(1), то же не повезло: его атом C(19) упирается в атом N(2). В результате, релаксация стерического напряжения в молекуле 3 происходит в основном за счет деформации валентных углов и удлинения валентных связей. Так, тетраэдрические валентные углы C(5)—C(4)—C(9) и C(6)—C(5)—C(11) увеличены до 112,7(2) и 113,4(2)° соот-

*Рис. 2.* Перспективный вид молекулы **4** без атомов водорода метильных и фенильных групп.  
Внутримолекулярная Н-связь показана штриховой линией

ветственно. Валентные углы  $C(5)—C(6)—C(7)$ ,  $C(6)—C(7)—C(17)$  и  $C(7)—N(1)—C(18)$  увеличены до  $131,2(2)$ ,  $130,9(2)$  и  $130,4(2)^\circ$ . Двойная связь  $C(6)=C(7)$  растянута до  $1,380(3)$  Å, в то время как среднестатистическое значение для данного типа связи равно  $1,341(17)$  Å [22]. Для сравнения можно указать, что длина второй двойной связи  $C(1)=N(2)$  5-членного гетероцикла молекулы **3** равна  $1,322(2)$  Å, т.е. соответствует среднестатистическому значению [22] для этого типа связей. Внутримолекулярных Н-связей в молекуле **3** нет.

Перспективный вид молекулы **4** с нумерацией неводородных атомов представлен на рис. 2. Карбоцикл  $C(1)...C(6)$  молекулы **4** имеет конформацию незначительно уплощенного *кресла*. Атомы  $C(2)$ ,  $C(3)$ ,  $C(5)$  и  $C(6)$  лежат в одной плоскости (максимальное отклонение от плоскости не превышает  $0,009(3)$  Å), а атомы  $C(1)$  и  $C(4)$  отклоняются от указанной плоскости в противоположные стороны на  $0,700(3)$  и  $0,451(3)$  Å соответственно. Как и следовало ожидать, наиболее объемистые заместители в этом цикле имеют экваториальную ориентацию, а наименее объемистые (гидроксильная группа и атомы водорода) — аксиальную.

Между атомами заместителей карбоцикла  $C(1)...C(6)$  имеются укороченные внутримолекулярные невалентные контакты типа 1...4, геометрические параметры которых представлены в табл. 1. Следует отметить, невалентное расстояние между атомами  $C(7)$  и  $C(29)$  увеличилось до  $2,95$  Å против аналогичного расстояния  $C(9)...C(8)$  в молекуле **3**, равного  $2,90$  Å. В то же время расстояние  $C(7)...C(9)$  в молекуле **4** на  $0,11$  Å короче, чем аналогичное расстояние  $C(9)...C(11)$  в молекуле **3**. Наблюданное перераспределение стерического напряжения в данном случае обусловлено, по-видимому, сразу несколькими причинами. Во-первых, в молекуле **4** имеется внутримолекулярная водородная связь  $O—H...O$  между атомами кислорода гидроксильной и ацетильной групп, а в молекуле **3** аналогичная Н-связь отсутствует. Отметим, что такая внутримолекулярная Н-связь существует в молекулах с рефкодами DUSGAA, IFUDOD, TECJER [23], которые близки по своему молекулярному строению к реагенту **1**. Во-вторых, отсутствие этой Н-связи в молекуле **3** приводит к тому, что ее ацетильная группа поворачивается относительно одинарной связи  $C—C$  почти на  $180^\circ$  по сравнению с молекулой **4**. Действительно, если в молекуле **4** торсионный угол  $C(6)—C(1)—C(7)—O(1)$  составляет  $51,9(3)^\circ$ , то в молекуле **3** аналогичный угол  $C(3)—C(4)—C(9)—O(2)$  равен уже  $-108,5(2)^\circ$ . В результате, в молекуле **3** имеются дополнительные по сравнению с молекулой **4** внутримолекулярные невалентные контакты типа 1...4 между атомом  $C(10)$  ацетильной группы и атомами  $C(3)$  и  $C(5)$  карбоцикла. В-третьих, в молекуле **4** за счет наличия объемистых заместителей в позициях 3 и 4 возникает дополнительная область стерического напряжения. Расстояние между атомами  $C(15)$  и  $N(3)$  сокращено до  $2,70$  Å. Атом  $C(16)$  оказывается "запертый" между атомами  $C(2)$  и  $C(4)$ , расстояние до которых составляет всего лишь  $3,16$  Å.

Как было отмечено выше, в кристаллической структуре **3** имеются две кристаллографически независимые молекулы. За счет Н-связей типа  $O—H...O$ , геометрические характеристики которых представлены в табл. 2, указанные две молекулы объединяются в димер (см. рис. 1).

В результате, образуется 12-членный цикл, который состоит из 10 неводородных атомов и двух атомов водорода. Для исследования геометрической формы этого цикла мы воспользовались методом обобщенного гармонического конформационного анализа [24], в котором

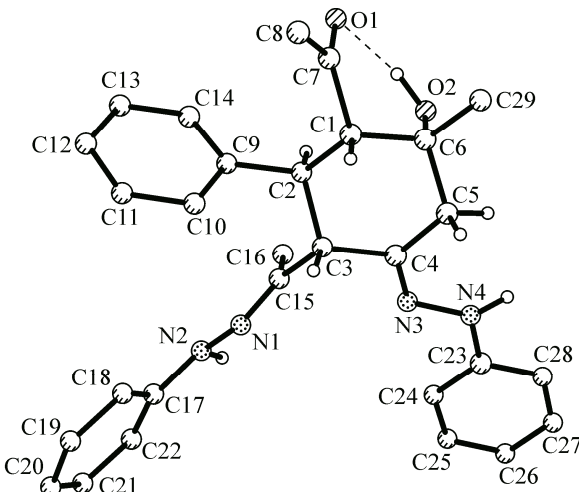


Таблица 2

*Геометрические характеристики Н-связей в структуре 3*

D—H...A	$d(D—H)$ , Å	$d(H...A)$ , Å	$d(D...A)$ , Å	$\angle(DHA)$ , град.
O(1)—H(1)...N(2')	0,89(3)	1,99(3)	2,859(2)	168(2)
O(1')—H(1')...N(2)	0,87(3)	2,21(3)	3,061(2)	167(3)

Таблица 3

*Обобщенные гармонические параметры цикла*

O(1)—H(1A)...N(2')—C(1')—C(2')—C(3')—O(1')—H(1'A)...N(2)—C(1)—C(2)—C(3)  
в кристаллической структуре 3

$M$	$q_m$ , Å	$\varphi_m$ , град.	$p_m$ , Å	$\delta_m$ , град.	$t_m$ , Å	$\omega_m$ , град.
1	—	—	—	—	0,23(1)	25
2	0,10(0)*	88	0,73(9)	0	0,94(15)	139
3	1,82(57)	330	0,04(0)	143	0,09(0)	331
4	0,03(0)	40	0,69(8)	85	0,64(7)	75
5	0,18(1)	89	0,04(0)	251	0,05(0)	238
6	-0,03(0)	—	-0,30(2)	—	0,17(0)	—
$Q = 1,83(57)$ Å		$p_0 = 2,28$ Å $P = 1,05(19)$ Å		$T = 1,18(24)$ Å		

\* В скобках указаны вклады гармоник в форму цикла, выраженные в процентах.

к общепринятым параметрам складчатости  $q_m$ ,  $\varphi_m$  Кремера—Попла [25] добавляются еще параметры выпуклости  $p_0$ ,  $p_m$ ,  $\delta_m$  и параметры неравномерности  $t_m$ ,  $\omega_m$ . Если параметры складчатости характеризуют отклонения атомов цикла от специальным образом проведенной средней плоскости цикла, то параметры выпуклости и неравномерности характеризуют форму проекции цикла на эту плоскость.

Амплитуда  $p_m$  и фазовый угол  $\delta_m$  представляют собой коэффициенты разложения в гармонический ряд функции  $R_j$  — расстояний от центра цикла  $O$  до проекций атомов цикла на среднюю плоскость. Параметр  $p_0$  — постоянная составляющая этого разложения, т.е. среднее расстояние от точки  $O$  до проекций атомов цикла на его среднюю плоскость.

Амплитуда  $t_m$  и фазовый угол  $\omega_m$  являются коэффициентами разложения в гармонический ряд функции  $D_j$  — отклонений проекций атомов цикла на среднюю плоскость от лучей, проведенных из точки  $O$  в средней плоскости с угловым шагом  $2\pi/N$ .

Параметры складчатости  $q_m$ ,  $\varphi_m$ , выпуклости  $p_0$ ,  $p_m$ ,  $\delta_m$  и неравномерности  $t_m$ ,  $\omega_m$  для 12-членного цикла кристаллической структуры 3 представлены в табл. 3.

Следует отметить, что амплитуды четных гармоник складчатости и нечетных гармоник выпуклости и неравномерности близки к нулю. Это означает, что форма цикла близка к центросимметричной. Действительно, дальнейший анализ кристаллической структуры 3 показал, что кроме кристаллографических центров инверсии в структуре имеются приближенные не-кристаллографические центры инверсии. Координаты этих приближенных центров инверсии близки к  $0,5h$ ,  $0,25 + 0,5k$ ,  $0,25 + 0,5l$ , где  $h$ ,  $k$ ,  $l$  — любые целые числа. Возле приближенных центров инверсии, которые соответствуют нечетным  $h$ ,  $k$ ,  $l$ , как раз и возникают димеры, образованные двумя кристаллографически независимыми молекулами, связанными двумя водородными связями O(2)...N(1') и O(2')...N(1). Между этими димерами укороченных межмолекулярных контактов нет.

Таблица 4

*Геометрические характеристики Н-связей в структуре 4*

D—H...A	<i>d</i> (D—H), Å	<i>d</i> (H...A), Å	<i>d</i> (D...A), Å	$\angle$ (DHA), град.
O(2)—H(2)...O(1)	0,93(4)	1,96(4)	2,758(3)	142(4)
O(3)—H(3)...N(1)	0,91(4)	2,05(4)	2,936(3)	164(3)
O(4)—H(1W)...O(2)#1	0,95(4)	1,93(4)	2,876(3)	173(4)
O(4)—H(2W)...O(1)#2	0,93(5)	2,02(5)	2,950(3)	178(5)
N(2)—H(2N)...O(4)#3	0,94(3)	2,11(3)	3,018(3)	164(2)
N(4)—H(4N)...O(3)#3	0,91(3)	2,13(3)	3,028(3)	173(2)

Симметрические преобразования для генерации координат эквивалентных атомов: #1  $x, y+1, z$ , #2  $-x+2, -y+1, -z+1$ , #3  $-x+1, -y+1, -z+1$ .

Таблица 5

*Обобщенные гармонические параметры цикла  
O(4)—H(1W)...O(2A)—H(2B)...O(1A)...H(2WA)—O(4B)—H(1WA)...O(2B)—  
H(2C)...O(1B)...H(2W)—O(4) в кристаллической структуре 4*

<i>m</i>	<i>q<sub>m</sub></i> , Å	$\phi_m$ , град.	<i>p<sub>m</sub></i> , Å	$\delta_m$ , град.	<i>t<sub>m</sub></i> , Å	$\omega_m$ , град.
1	—	—	—	—	0(0)	—
2	0(0)	—	0,88(20)	336	1,221(38)	51
3	0,26(2)	282	0(0)	—	0(0)	—
4	0(0)	—	0,15(1)	116	1,03(27)	122
5	0,20(1)	108	0(0)	—	0(0)	—
6	0(0)	—	0,58(9)	—	0,32(3)	—
			$p_0 = 2,67 \text{ \AA}$			
	$Q = 0,33(3) \text{ \AA}$		$P = 1,06(29) \text{ \AA}$		$T = 1,63(68) \text{ \AA}$	

Как отмечено выше, в кристаллической структуре 4 кроме молекулы 4 имеется еще молекула воды и молекула этилового спирта, которые участвуют в образовании системы водородных связей. Геометрические характеристики Н-связей в структуре 4 представлены в табл. 4.

В кристаллической структуре 4 две молекулы воды водородными связями объединяют две молекулы 4 в центросимметричный островной агломерат, в котором можно выделить 12-членный цикл, образованный Н-связями. Обобщенные гармонические параметры этого цикла представлены в табл. 5. Отметим, что амплитуды всех гармоник складчатости близки к нулю, следовательно, этот цикл очень сильно уплощен, и основной вклад в его форму вносят гармоники выпуклости (29 %) и неравномерности (68 %).

Описанные выше центросимметричные островные агломераты за счет Н-связей с молекулами этилового спирта и молекулами воды, которые выступают теперь в роли акцептора, объединяются в молекулярные слои, ориентированные параллельно координатной плоскости *XOY*. Между этими слоями укороченных межмолекулярных контактов нет.

## ВЫВОДЫ

По результатам РСА кристаллических структур продуктов реакции диацетилзамещенного кетола с фенилгидразином установлена регионарность конденсации первичной аминной группы фенилгидразина по карбонилу алицикла. Также показано образование бисгидразонного продукта, что не описано для реакций аналогичных кетолов с фенилгидразином. Вероятно,

фенильная группа фенилгидразина, стерически препятствуя полной внутримолекулярной гетероциклизации, создает возможность для конденсации по экзоциклической кетонной группе дикацетилзамещенного циклогексанового кетола. В кристаллической структуре 1-(6-гидрокси-3,6-диметил)-2,4-дифенил-4,5,6,7-тетрагидро-2Н-индазол-5-ил)этан-1-она обнаружено наличие приближенных некристаллографических центров инверсии. Показана возможность использования обобщенных гармонических параметров циклов для анализа геометрической формы Н-связанных островных агломератов.

#### СПИСОК ЛИТЕРАТУРЫ

1. Texier-Boulet F., Klein B., Hamelin J. // *Synthesis*. – 1986. – N 5. – P. 409.
2. Zelenin K.N., Alekseyev V.V., Tygysheva A.R. // *Tetrahedron*. – 1995. – **51**, N 41. – P. 11251.
3. Singer R.A., Caron S., McDermott R.E. et al. // *Synthesis*. – 2003. – N 11. – P. 1727.
4. Chen X., She J., Shang Z.C. et al. // *Synthetic Commun.* – 2009. – **39**, N 6. – P. 947.
5. Alinezhad H., Tajbakhsh M., Zare M. // *J. Fluor. Chem.* – 2011. – **132**, N 11. – P. 995.
6. Alinezhad H., Tajbakhsh M., Zare M. // *Monatsh. Chem.* – 2012. – **143**, N 6. – P. 947.
7. Ohtsuka Y., Uraguchi D., Yamamoto K. et al. // *Tetrahedron*. – 2012. – **68**, N 12. – P. 2636.
8. Shetty M.R., Samant S.D. // *Synthetic Commun.* – 2012. – **42**, N 10. – P. 1411.
9. Huang T.L., Chen C.T. // *J. Organometallic Chem.* – 2013. – **725**. – P. 15.
10. Vaddula B.R., Varma R.S., Leazer J. // *Tetrahedron Lett.* – 2013. – **54**, N 12. – P. 1538.
11. Huang K.H., Veal J.M., Rice R.P. et al. // *J. Medic. Chem.* – 2009. – **52**, N 14. – P. 4288.
12. Grauert M., Maier U., Hoffmann M. et al. // Patent: US2007/238718 A1, 2007.
13. Huang K.H., Ommen A.J., Barta T.E. et al. // Patent: US2008/269193 A1, 2008.
14. Lv P.C., Li H.Q., Sun J., Zhou Y., Zhu H.L. // *Bioorganic & Medicinal Chemistry*. – 2010. – **18**. – P. 4606.
15. Bonesi M., Loizzo M.R., Statti G.A. et al. // *Bioorganic & Medicinal Chemistry Letters*. – 2010. – **20**. – P. 1990.
16. Bondock S., Fadaly W., Metwally M.A. et al. // *Europ. J. Medic. Chem.* – 2010. – **45**. – P. 3692.
17. Barsoum F.F., Gergis A.S. // *Europ. J. Medic. Chem.* – 2009. – **44**. – P. 2172.
18. El-Sabbagh O.I., Baraka M.M., Ibrahim S.M. // *Europ. J. Medic. Chem.* – 2009. – **44**. – P. 3746.
19. Abdel-Aziz M., El-Din G., Abuo-Rahma A., Hassan A.A. // *Europ. J. Medic. Chem.* – 2009. – **44**. – P. 3480.
20. Sheldrick G.M. SHELLXTL v.6.12, Structure Determination Software Suite, Bruker AXS, Madison, Wisconsin, USA, 2008.
21. Зефиров Ю.В., Зоркий П.М. // Успехи химии. – 1989. – **58**, № 5. – С. 713.
22. Allen F.H., Watson D.G., Brammer L. et al. // *Internat. Tables for Crystallography*. – 2006. – Vol. C, Chapter 9.5. – P. 790 – 811.
23. Cambridge Structural Database. Version 5.34. University of Cambridge, UK.
24. Малеев А.В., Левина О.И., Потехин К.А. и др. // Докл. АН. – 1995. – **340**, № 4. – С. 499.
25. Cremer D., Pople J.A. // *JACS*. – 1975. – **97**, N 6. – P. 1354.